

СОДЕРЖАНИЕ

1. Общее представление о сущности процессов, протекающих в исследуемой динамической системе.	2
2. Представление общей структуры и принципов функционирования системы в графической форме.	2
3. Описание физических процессов, протекающих в исследуемой системе.	3
4. Перечень входных и выходных сигналов.	3
5. Перечень управляющих и возмущающих воздействий.	3
6. Гипотезы, используемые при построении модели.	3
7. Статическая модель исследуемой системы при отсутствии возмущающих воздействий.	3
8. Динамическая модель исследуемой системы при отсутствии возмущающих воздействий.	5
9. Исследование динамики системы численным методом при различных входных воздействиях.	5
10. Уравнение динамики исследуемой системы в отклонениях от установившегося режима.	9
11. Линеаризованное уравнение динамики исследуемой системы в отклонениях от установившегося режима.	10
12. Линеаризованное уравнение динамики исследуемой системы в относительных безразмерных величинах.	11
13. Передаточная функция системы.	11
14. Переходная и весовая характеристики системы.	13
15. Показатели качества переходного процесса.	17
СПИСОК ИСПОЛЬЗОВАННЫХ ИСТОЧНИКОВ.	Error! Bookmark not defined.

1. Общее представление о сущности процессов, протекающих в исследуемой динамической системе.

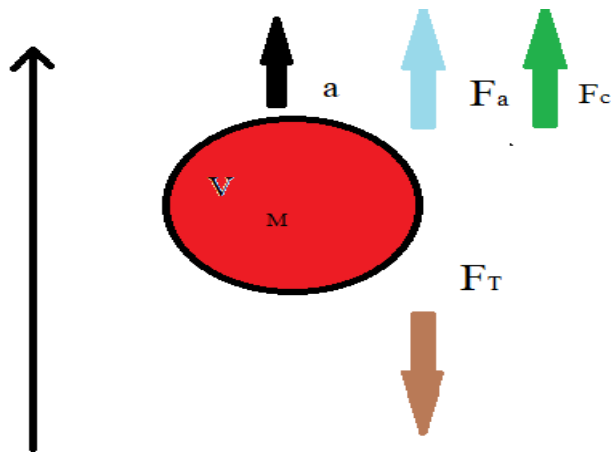
Изучается процесс подъема шара в воздух. Рассматривается воздушный шар, поднимающийся в воздух под действием силы Архимеда. Опыт будет происходить при нормальных условиях, ветер отсутствует.

Воздушный шар— это шар, плавающий в воздухе под действием силы Архимеда. Шар наполняется каким-либо газом, который легче воздуха что позволяет ему плавать в воздухе. Шар поднимается до тех пор, пока сила Архимеда и силы тяжести не уравновесят друг друга, то есть плотности газа внутри шара и вне шара не станут эквивалентными.

Ограничимся рассмотрением движения его центра масс под действием следующих сил: силы тяжести, архимедовой силы и силой аэродинамического сопротивления. Сила тяжести направлена вниз, архимедова сила – вверх, а сила аэродинамического сопротивления всегда направлена «против движения».

2. Представление общей структуры и принципов функционирования системы в графической форме.

Графическая иллюстрация рассматриваемого процесса:



V — объем шара;

F_T — сила тяжести;

F_a — сила Архимеда;

F_c — сила сопротивления воздуху.

M — масса оболочки.

a — ускорение.

3. Описание физических процессов, протекающих в исследуемой системе.

Воздушный шар сферической формы поднимается в воздух под действием сил Архимеда. Газ в шаре греется, в следствии чего его объем увеличивается и шар начинает подъем. Шар поднимается до тех пор, пока сила Архимеда и силы тяжести не уравновесят друг друга, то есть плотности газа внутри шара и вне шара не станут эквивалентными. Или же, другими словами, его вытесняет наверх до тех пор, пока вес, заключённый в его объёме, не будет равняться такому же весу воздуха, способного занять данный объём. Кроме того, при подъеме в воздух, воздух создаёт дополнительный тормозящий эффект.

4. Перечень входных и выходных сигналов.

При поднятии в воздух объем шара будет изменяться поэтому V — входной сигнал, а h — выходной сигнал.

5. Перечень управляющих и возмущающих воздействий.

Управляющим воздействием системы будет объем шара V , возмущающим — температура окружающей среды T .

6. Гипотезы, используемые при построении модели.

Сформулируем перечень гипотез относительно свойств и поведения объекта моделирования:

- движение происходит в поле силы тяжести с постоянным ускорением свободного падения g ;
- мы ограничимся рассмотрением только этапа подъема шара, когда сила аэродинамического сопротивления направлена вниз и, следовательно, будет учтена в уравнениях движения со знаком минус;
- динамика объекта моделирования описывается уравнениями классической механики Ньютона;
- система изолирована от внешних воздействий.

7. Статическая модель исследуемой системы при отсутствии возмущающих воздействий.

Статическая модель — это модель, отражающая состояние системы в некоторый фиксированный момент времени.

Найдём эту модель, приравняв все производные выходной величины к нулю.

В начале построим математическую модель нашей исследуемой системы.

Сила тяжести направлена вниз, архимедова сила – вверх, а сила аэродинамического сопротивления всегда направлена «против движения», поэтому корректный учет этой силы в уравнениях движения требует введения множителя $-\text{sign}(\frac{dh}{dt})$.

Однако, для наших целей этот факт не имеет принципиального значения, и мы ограничимся рассмотрением только этапа подъема шара, когда сила аэродинамического сопротивления направлена вниз и, следовательно, будет учтена в уравнениях движения со знаком минус. Зависимость плотности воздуха от высоты будем полагать экспоненциальной:

$$Ma = -Mg + F_a - F_c,$$

$$F_c = \rho(h)Vg,$$

$$\bar{v} = \frac{dh}{dt},$$

$$\bar{a} = \frac{dv}{dt} = \frac{d^2h}{dt^2},$$

$$\rho(h) = \rho_0 e^{-bh}.$$

Или же имеем из этого:

$$M \frac{d^2h}{dt^2} = -Mg + \rho_0 e^{-bh} Vg - k \frac{dh}{dt}$$

1. M – 8 кг Масса шара;
2. h – 1 м Высота, с которой поднимается шар;
3. g – Ускорение свободного падения $g = 9,81 \text{ м/с}^2$;
4. ρ_0 – плотность воздуха в начальный;
5. k – Коэффициент сопротивления воздуху;
6. b – константа, связанная с плотностью воздуха.
7. V – объем шара

Статическая модель:

$$0 = -Mg + \rho_0 e^{-bh} Vg$$

$$Mg = \rho_0 e^{-bh} Vg$$

Или же:

$$-\frac{\ln \frac{V\rho_0}{M}}{b} = h$$

8. Динамическая модель исследуемой системы при отсутствии возмущающих воздействий.

Динамическая модель — это модель, отражающая процесс изменения состояния исследуемой системы.

Начальные условия будут иметь вид:

$$\begin{cases} h(0) = h_0; \\ v(0) = v_0. \end{cases}$$

Таким образом, исходная задача свелась к решению задачи Коши для системы уравнений:

$$\begin{cases} \frac{dv}{dt} M = -Mg + \rho_0 e^{-bh} Vg - k \frac{dh}{dt}; \\ \frac{dh}{dt} = v. \end{cases}$$

9. Исследование динамики системы численным методом при различных входных воздействиях.

В рассматриваемом случае применение имитационного моделирования является необходимым, так как рассматриваемый процесс является достаточно сложным. Поэтому будем искать численное решение поставленной задачи с использованием методов вычислительной математики.

Для решения задачи Коши воспользуемся методом Эйлера. При этом значение производной может быть приближенно заменено отношением:

$$\frac{dv}{dt} \approx \frac{v(i+1) - v(i)}{h}.$$

Здесь $v(i)$ — значение функции в текущей точке, $(i + 1)$ — значение функции в следующей точке, а величина h равна интервалу времени между двумя отсчётами и называется **шагом интегрирования**.

Перейдя от дифференциальных уравнений к разностным, получим

$$\begin{cases} \frac{v(i+1) - v(i)}{h} M = -g + \rho_0 e^{-bh(i)} V g - kv(i); \\ \frac{h(i+1) - h(i)}{h} = v(i). \end{cases}$$

$$\begin{cases} h(0) = h_0; \\ v(0) = v_0. \end{cases}$$

Откуда в явном виде выразим значение функции в следующей точке:

$$\begin{cases} v(i+1) = v(i) + h \left(-g + \frac{\rho_0 e^{-bh(i)} V g}{M} - \frac{k}{M} v(i) \right); \\ h(i+1) = h(i) + hv(i). \end{cases}$$

$$\begin{cases} h(0) = h_0; \\ v(0) = v_0. \end{cases}$$

Полученные соотношения позволяют определить значения искомых функций в последующий момент времени, зная их значения в предыдущий момент времени.

Исследуем зависимость получаемых решений задачи от различных входных воздействий.

Выберем для определённости следующие параметры процесса:

8. Масса шара $M = 8$ кг;
9. Высота, с которой поднимается шар $h = 1$ м;
10. Ускорение свободного падения $g = 9,81$ м/с²;
11. Плотность воздуха $\rho_0 = 1,28$ кг/м³;
12. Коэффициент сопротивления воздуху $k = 0,4$.
13. $b = 0,000128$ константа, связанная с плотностью воздуха.

Исследуем, как зависит угол наклона маятника от силы, оказываемой на маятник. На рисунке 1 показаны графики для трёх значений объема $V = 20$ м³, $V = 40$ м³, $V = 60$ м³ при начальных условиях $h(0) = 0$ м и $v(0) = 0$ м/с.

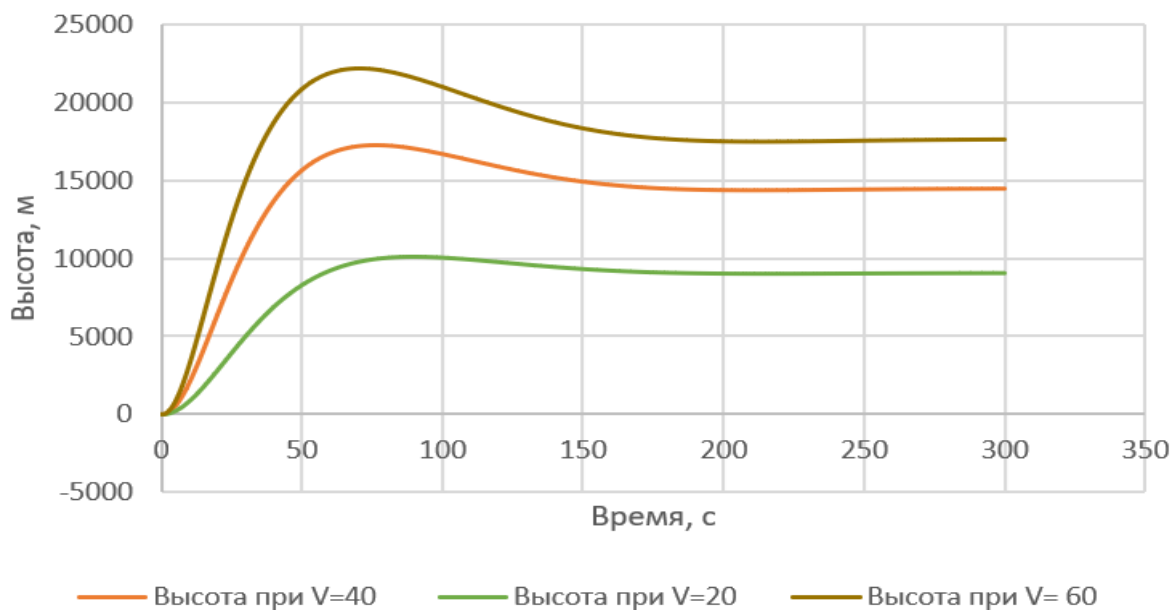


Рисунок 1 — Графики изменения высоты при различных значениях объема шара

Графики отчётливо иллюстрирует зависимость высоты, на которую поднимется шар от его объема.

Построим графики с теми же параметрами, но с другим начальным условием. На рисунке 1 показаны графики для трёх значений объема $V = 20 \text{ м}^3$, $V = 40 \text{ м}^3$, $V = 60 \text{ м}^3$ при начальных условиях $h(0) = 2000 \text{ м}$ и $v(0) = 0 \text{ м/с}$.

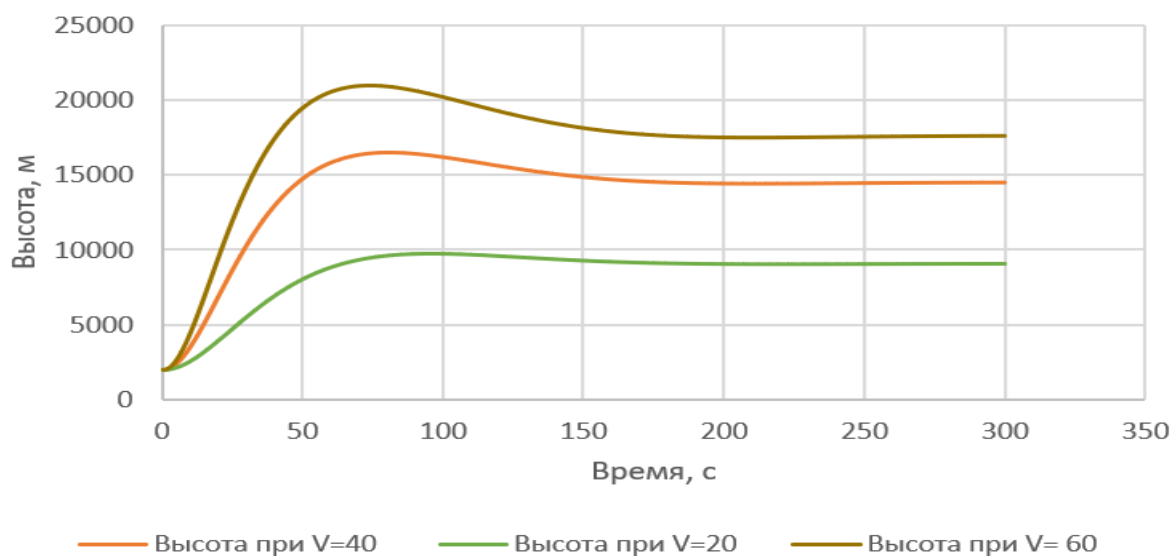


Рисунок 2 — Графики изменения высоты при различных значениях объема шара

Напрашивается вывод, что начальная высота не зависит от установившегося значения.

Далее, исследуем, как зависит высота шара от его массы. На рисунке 3 показаны графики для трёх значений массы $m = 8, m = 16, m = 24, V = 40$ при начальном условии $h(0) = 0$ м и $v(0) = 0$ м/с.

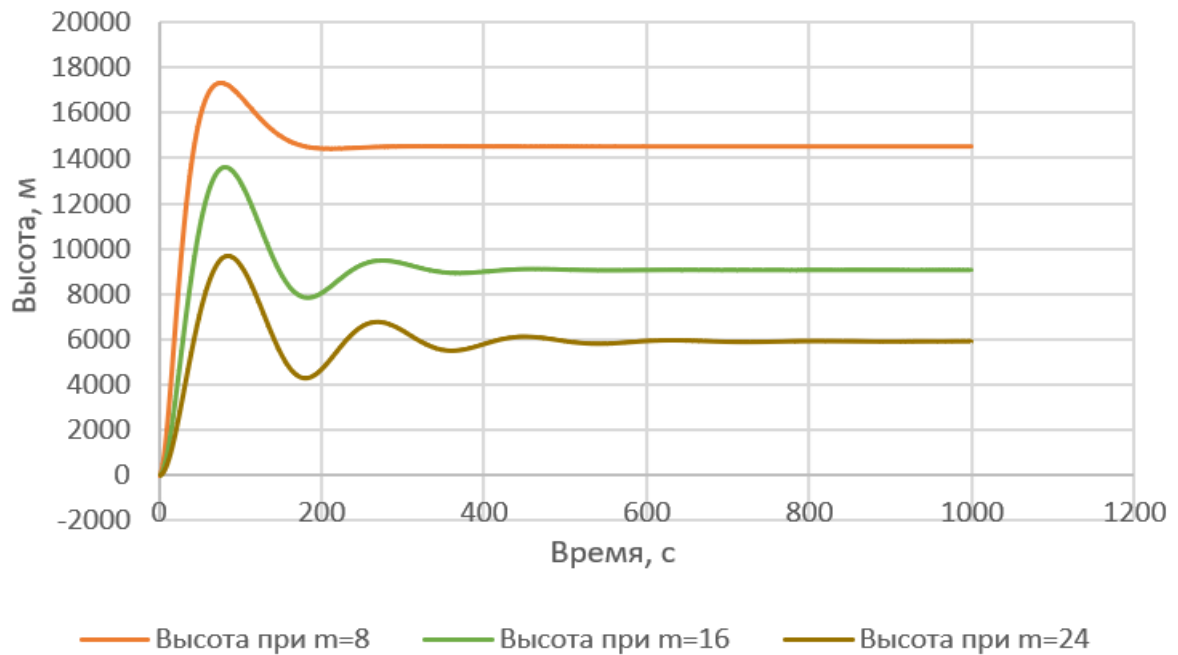


Рисунок 3 — Графики изменения угла при различных значениях m

Можем наблюдать, что чем больше масса тем ниже шар и дольше стабилизируется к установившемуся значению.

Также проверим работу системы при различных начальных значениях. На рисунке 4 показаны графики при начальных условиях $h(0) = 100$ м, $h(0) = 500$ м, $h(0) = 1000$ м, $v(0) = 0$ м/с и при массе $m = 10$.

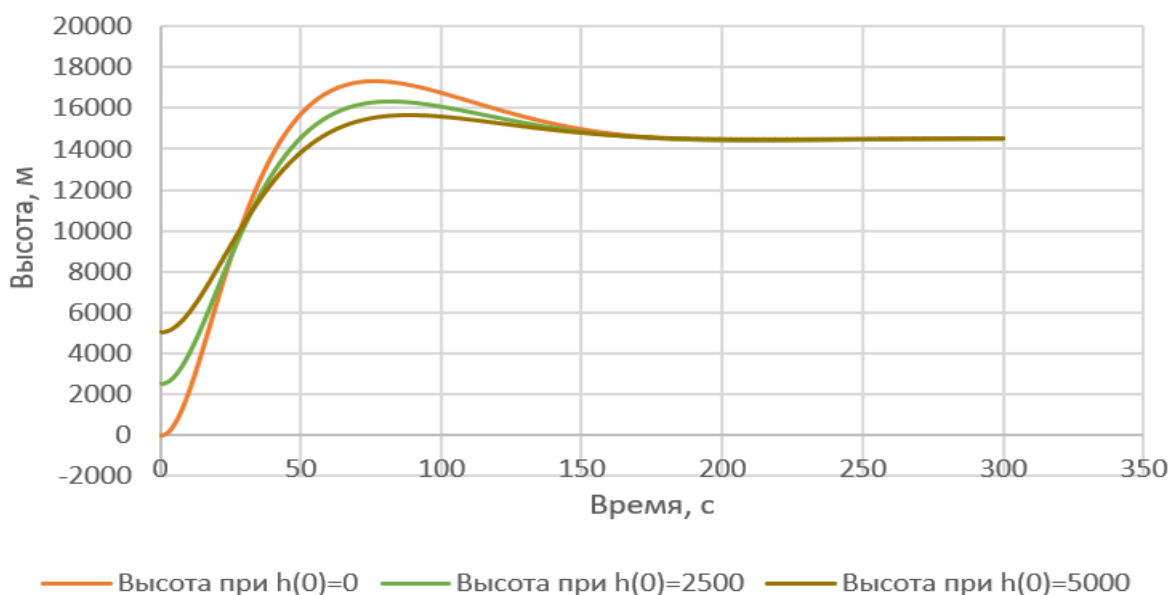


Рисунок 4 — Графики изменения высоты при различных начальных значениях h

Видим, что независимо от начальной высоты, при прочих равных значениях, шар придёт к одному и тому же установившемуся значению.

10. Уравнение динамики исследуемой системы в отклонениях от установившегося режима.

Установившимся называют такой режим, при котором интересующая нас выходная величина не изменяется с течением времени.

Определим установившийся режим. Чтобы найти условия установившегося режима, приравняем все производные выходной величины к нулю.

Исходное уравнение динамики:

$$M \frac{d^2 h}{dt^2} = -Mg + \rho_0 e^{-bh} Vg - k \frac{dh}{dt}.$$

Установившийся режим:

$$0 = -Mg + \rho_0 e^{-bh_0} Vg;$$

Выразим высоту:

$$-\frac{\ln \frac{V_0 \rho_0}{M}}{b} = h_0.$$

При изменении объема на величину ΔV будет изменяться и высота на некоторую величину Δh . Используя это, представим наши мгновенные значения величин V и h в виде: $V = V_0 + \Delta V$ и $h = h_0 + \Delta h$, где V_0, h_0 — опорные значения, а $\Delta V, \Delta h$ — отклонения от опорных значений.

Подставим эти равенства в наше уравнение динамики. Искомое уравнение будет иметь вид:

$$M \frac{d^2(h_0 + \Delta h)}{dt^2} = -Mg + \rho_0 e^{-b(h_0 + \Delta h)}(V_0 + \Delta V)g - k \frac{d(h_0 + \Delta h)}{dt}.$$

11. Линеаризованное уравнение динамики исследуемой системы в отклонениях от установившегося режима.

Линеаризация — это процесс сведения нелинейного уравнения к линейному путём отбрасывания всех членов, имеющих порядок выше первой.

Разложим в ряд Тейлора экспоненту:

$$e^{-bh} = e^{-bh_0} + \frac{-be^{-bh_0}}{1!}(h - h_0) + \frac{b^2 e^{-bh_0}}{2!}(h - h_0)^2 + \dots$$

Или же:

$$e^{-bh} = e^{-bh_0} + \frac{-be^{-bh_0}}{1!}\Delta h + \frac{b^2 e^{-bh_0}}{2!}\Delta h^2 + \dots \approx e^{-bh_0} - be^{-bh_0}\Delta h.$$

Сделаем замену. Получим:

$$M \frac{d^2(h_0 + \Delta h)}{dt^2} = -Mg + \rho_0(e^{-bh_0} - be^{-bh_0}\Delta h)\Delta h(V_0 + \Delta V)g - k \frac{d(h_0 + \Delta h)}{dt};$$

Преобразуем его:

$$M \frac{d^2(\Delta h)}{dt^2} = -Mg + \rho_0(e^{-bh_0} - be^{-bh_0}\Delta h)(V_0 + \Delta V)g\Delta h - k \frac{d(\Delta h)}{dt};$$

Так как $(0 = -Mg + \rho_0 e^{-bh_0} V_0 g)$, то мы можем упростить наше уравнение:

$$M \frac{d^2(\Delta h)}{dt^2} = \rho_0 g e^{-bh_0} \Delta V - \rho_0 g b e^{-bh_0} (V_0 + \Delta V) \Delta h - k \frac{d(\Delta h)}{dt};$$

Раскроем скобки:

$$M \frac{d^2(\Delta h)}{dt^2} = \rho_0 g e^{-bh_0} \Delta V - \rho_0 g b e^{-bh_0} V_0 \Delta h + \rho_0 g b e^{-bh_0} \Delta V \Delta h - k \frac{d(\Delta h)}{dt};$$

$$\rho_0 g b e^{-bh_0} \Delta V \Delta h \approx 0.$$

Перенесём выходные величины в левую сторону, а входные — в правую.
Искомое уравнение будет иметь вид:

$$M \frac{d^2(\Delta h)}{dt^2} + k \frac{d(\Delta h)}{dt} + \rho_0 g b e^{-bh_0} V_0 \Delta h = \rho_0 g e^{-bh_0} \Delta V.$$

12. Линеаризованное уравнение динамики исследуемой системы в относительных безразмерных величинах.

Изначально имеем:

$$M \frac{d^2(\Delta h)}{dt^2} + k \frac{d(\Delta h)}{dt} + \rho_0 g b e^{-bh_0} V_0 \Delta h = \rho_0 g e^{-bh_0} \Delta V.$$

Делим и умножаем Δh и ΔV на соответствующие им величины:

$$h_0 M \frac{d^2\left(\frac{\Delta h}{h_0}\right)}{dt^2} + h_0 k \frac{d\left(\frac{\Delta h}{h_0}\right)}{dt} + h_0 \rho_0 g b e^{-bh_0} V_0 \frac{\Delta h}{h_0} = V_0 \rho_0 g e^{-bh_0} \frac{\Delta V}{V_0};$$

Разделим получившееся уравнение на h_0 :

$$M \frac{d^2\left(\frac{\Delta h}{h_0}\right)}{dt^2} + k \frac{d\left(\frac{\Delta h}{h_0}\right)}{dt} + \rho_0 g b e^{-bh_0} V_0 \frac{\Delta h}{h_0} = V_0 \rho_0 g e^{-bh_0} \frac{\Delta V}{V_0} \frac{1}{h_0};$$

Разделим получившееся уравнение на M :

$$\frac{d^2\left(\frac{\Delta h}{h_0}\right)}{dt^2} + \frac{k}{M} \frac{d\left(\frac{\Delta h}{h_0}\right)}{dt} + \frac{1}{M} \rho_0 g b e^{-bh_0} V_0 \frac{\Delta h}{h_0} = \frac{1}{M} V_0 \rho_0 g e^{-bh_0} \frac{\Delta V}{V_0} \frac{1}{h_0};$$

Разделим все слагаемые на коэффициент перед $\Delta h/h_0$:

$$\frac{M e^{bh_0}}{\rho_0 g b V_0} \frac{d^2\left(\frac{\Delta h}{h_0}\right)}{dt^2} + \frac{M e^{bh_0}}{\rho_0 g b V_0} \frac{k}{M} \frac{d\left(\frac{\Delta h}{h_0}\right)}{dt} + \frac{\Delta h}{h_0} = \frac{M e^{bh_0}}{\rho_0 g b V_0} \frac{1}{M} V_0 \rho_0 g e^{-bh_0} \frac{\Delta V}{V_0} \frac{1}{h_0};$$

Получаем:

$$\frac{M e^{bh_0}}{\rho_0 g b V_0} \frac{d^2\left(\frac{\Delta h}{h_0}\right)}{dt^2} + \frac{e^{bh_0}}{\rho_0 g b V_0} \frac{k}{1} \frac{d\left(\frac{\Delta h}{h_0}\right)}{dt} + \frac{\Delta h}{h_0} = \frac{1}{b} \frac{\Delta V}{V_0} \frac{1}{h_0}.$$

13. Передаточная функция системы.

Передаточная функция динамической системы — это отношение изображения по Лапласу выходной переменной к изображению по Лапласу входной переменной при нулевых начальных условиях.

$$\frac{M e^{bh_0}}{\rho_0 g b V_0} \frac{d^2\left(\frac{\Delta h}{h_0}\right)}{dt^2} + \frac{e^{bh_0}}{\rho_0 g b V_0} \frac{k}{1} \frac{d\left(\frac{\Delta h}{h_0}\right)}{dt} + \frac{\Delta h}{h_0} = \frac{1}{b} \frac{\Delta V}{V_0} \frac{1}{h_0};$$

Введём оператор $s = d/dt$ и сделаем замены $\Delta \varphi / \varphi_0 = Y$, $\Delta F / F_0 = U$.

Получим:

$$\frac{Me^{bh_0}}{\rho_0 gbV_0} S^2 y + \frac{e^{bh_0} k}{\rho_0 gbV_0} Sy + y = \frac{1}{b} u \frac{1}{h_0};$$

Для повышения компактности записи, введём следующие обозначения:

$$\begin{cases} a_1 = \frac{Me^{bh_0}}{\rho_0 gbV_0}; \\ a_2 = \frac{e^{bh_0} k}{\rho_0 gbV_0} \frac{1}{1}; \\ b = \frac{1}{b} \frac{1}{h_0}. \end{cases}$$

Тогда приведённое выше уравнение можно будет записать в виде:

$$a_1 s^2 Y(s) + a_2 s Y(s) + Y(s) = b U(s);$$

Откуда, приведя подобные, получим:

$$(a_1 s^2 + a_2 s + 1) Y(s) = b U(s);$$

Передаточную функцию найдём по формуле:

$$W(s) = \frac{Y(s)}{U(s)} = \frac{b}{a_1 s^2 + a_2 s + 1}.$$

Укажем конкретные числовые значения параметров:

Масса шара $M = 8$ кг;

Ускорение свободного падения $g = 9,81$ м/с²;

Плотность воздуха $\rho_0 = 1,28$ кг/м³;

Коэффициент сопротивления воздуху $k = 0,4$.

$b = 0,000128$ константа, связанная с плотностью воздуха

h_0 можно найти из уравнения статики. $h_0 \approx 14502,328$ м³.

Передаточная функция будем иметь вид:

$$W(s) = \frac{Y(s)}{U(s)} = \frac{0,539}{797,28s^2 + 39,864s + 1}.$$

14. Переходная и весовая характеристики системы.

Переходной характеристикой называется реакция системы на единичный ступенчатый сигнал при нулевых начальных условиях.

Весовой характеристикой называется реакция системы на дельта-функцию при нулевых начальных условиях

1. Определим реакцию системы на единичный ступенчатый сигнал при нулевых начальных условиях. Входной сигнал как функция времени будет определяться выражением:

$$U(t) = \begin{cases} 0, & t < 0; \\ 1, & t \geq 0. \end{cases} \text{ — единичный ступенчатый сигнал (функция Хэвисайда)}$$

Его изображение по Лапласу:

$$U(s) = \frac{1}{s}.$$

Тогда изображение выходного сигнала будет определяться выражением:

$$Y(s) = W(s)U(s) = \frac{0,539}{s(796,48s^2 + 39,824s + 1)}.$$

Найдём выражение для выходного сигнала.

$$Y(s) = \frac{0,539}{s(796,48s^2 + 39,824s + 1)} = \\ = \frac{0,539}{s} - \frac{429,73s}{796,48s^2 + 39,824s + 1} - \frac{21.49}{796,48s^2 + 39,824s + 1}.$$

Разложим дробь $\frac{21.49}{796,48s^2 + 39,824s + 1}$:

$$\frac{21.49}{796,48s^2 + 39,824s + 1} = \frac{21.49}{\frac{1}{0,02511} (s - (-0,025))^2 + (0,02511)^2}.$$

Её оригинал:

$$0,537 * e^{-0,025t} * \sin(0,02511t)$$

Разложим дробь $\frac{429,73s}{796,48s^2 + 39,824s + 1}$:

$$\begin{aligned} \frac{429,73s}{796,48s^2 + 39,824s + 1} &= 429,73 \left(\frac{(s - (-0,025)) - 0,025}{(s - (-0,025))^2 + (0,02511)^2} \right) = \\ &= \frac{429,73}{\frac{1}{0,02511}} \left(\frac{0,02511(s - (-0,025))}{(s - (-0,025))^2 + (0,02511)^2} - \frac{0,02511 * 0,025}{(s - (-0,025))^2 + (0,02511)^2} \right). \end{aligned}$$

Её оригинал:

$$\frac{429,73}{\frac{1}{0,02511}} (0,02511e^{-0,025t} * \cos(0,02511t) - 0,025 * e^{-0,025t} * \sin(0,02511t))$$

Оригинал функции $Y(s)$:

$$\begin{aligned} Y(t) &= (0,539 - 0,537e^{-0,025t} \sin(0,02511t) - 0,271e^{-0,025t} \\ &\quad * \cos(0,02511t) + 0,27e^{-0,025t} * \sin(0,02511t)) * 1(t) \end{aligned}$$

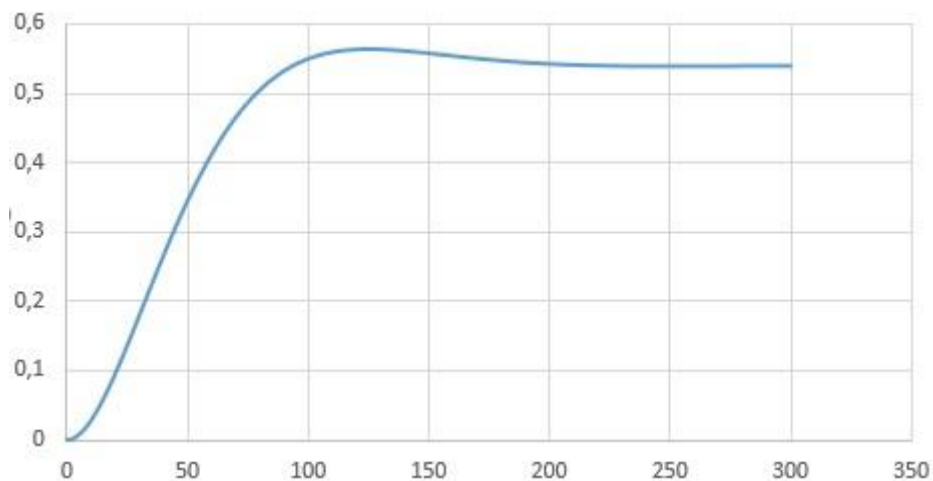


Рисунок 5 — График реакции на единичный ступенчатый сигнал при нулевых начальных условиях в Excel.

Проверим соответствует ли действительности этот график используя инструментарий MatLab.

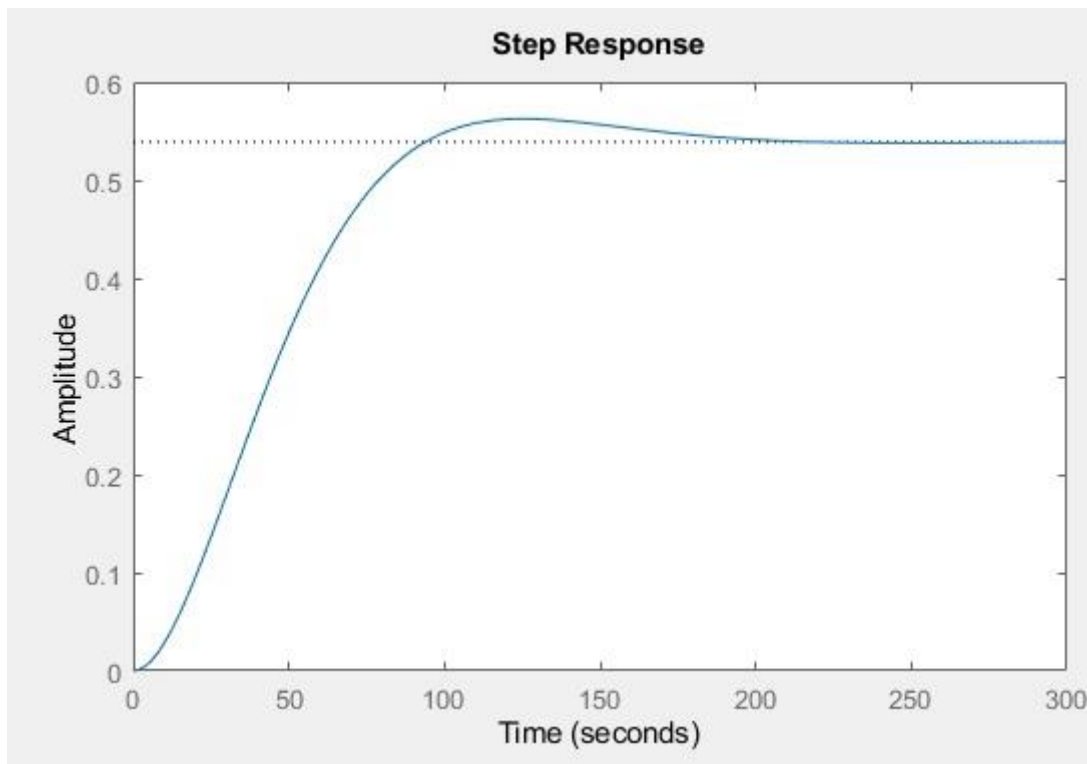


Рисунок 5 — График реакции на единичный ступенчатый сигнал при нулевых начальных условиях в MatLab.

2. Определим реакцию системы на дельта-функцию при нулевых начальных условиях. Входной сигнал как функция времени будет определяться выражением:

$$U(t) = \begin{cases} \infty, & t = 0; \\ 0, & t \neq 0. \end{cases} \text{ — дельта-функция (функция Дирака)}$$

Его изображение по Лапласу:

$$U(s) = 1.$$

Тогда изображение выходного сигнала будет определяться выражением:

$$Y(s) = W(s)U(s) = \frac{0,539}{s(796,48s^2 + 39,824s + 1)}$$

Найдём выражение для выходного сигнала.

Разложим дробь $\frac{0,539}{s(796,48s^2 + 39,824s + 1)}$:

$$\frac{0,539}{s(796,48s^2 + 39,824s + 1)} = \frac{0,539}{\frac{1}{0,02511} (s - (-0,025))^2 + (0,02511)^2}.$$

Оригинал функции $Y(s)$:

$$Y(t) = 0,013475 * e^{-0,025t} * \sin(0,02511t) * 1(t).$$

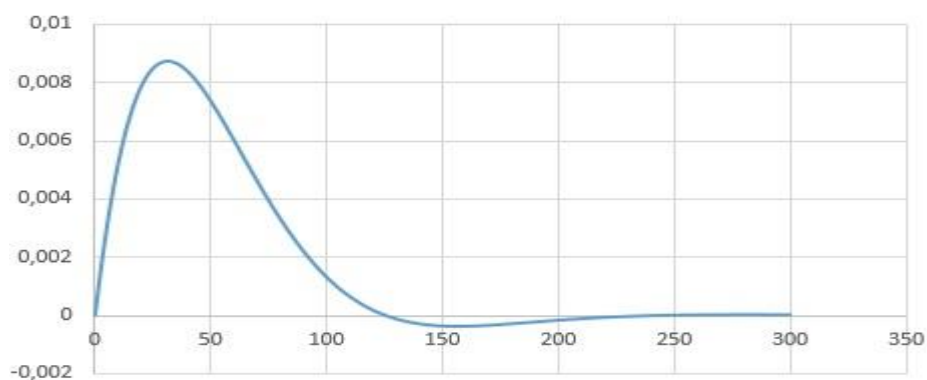


Рисунок 6 — График реакции на дельта-функцию при нулевых начальных условиях в Excel.

Проверим соответствует ли действительности этот график используя инструмент MatLab.

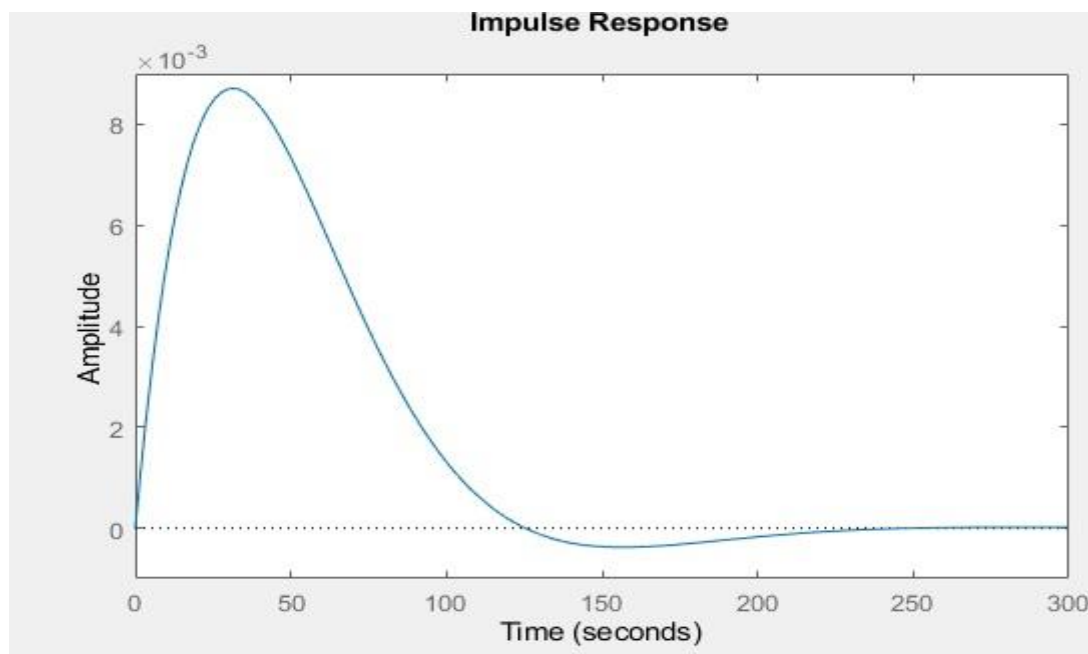


Рисунок 7 — График реакции на дельта-функцию при нулевых начальных условиях в Matlab

15. Показатели качества переходного процесса.

Оценим эффективность функционирования динамической системы, используя прямые показатели качества. Для их нахождения целесообразно будет использовать пакет MATLAB.

1) Перерегулирование

Перерегулирование δ — это отношение разности максимального значения переходной характеристики h_{max} и её установившегося значения h_{∞} к величине установившегося значения выраженная в процентах.

$$h_{max} \approx 0,563, \text{ а } h_{\infty} \approx 0,539.$$

Найдём значение перерегулирования:

$$\delta = \frac{h_{max} - h_{\infty}}{h_{\infty}} * 100\% = \frac{0,563 - 0,539}{0,539} * 100\% \approx 4.45\%$$

2) Время переходного процесса

Время переходного процесса t_p — это момент времени, после которого отклонения переходной характеристики не будут превышать 5% от установившегося значения $t_p \approx 168$ секунд.

3) Время нарастания переходного процесса

Время нарастания переходного процесса t_n — это абсцисса точки пересечения переходной характеристики с уровнем установившегося значения $t_n \approx 101$ сек.